

التباین الوراثی بین عزلات من أنواع الفطر *Sporisorium sp.* المسببة لأمراض التفحّم على الذرة البيضاء.

ردينا غانم^{1*}، جودة فضول²، محمد فواز العظمة³

¹* عضو هيئة فنية- قسم وقاية النبات- كلية الزراعة- جامعة تشرين.

² أستاذ دكتور - قسم وقاية النبات- كلية الزراعة- جامعة دمشق.

³ أستاذ دكتور - قسم وقاية النبات- كلية الزراعة- جامعة دمشق.

الملخص:

هدفت الدراسة لمعرفة التباينات الوراثية لعزلات الأنواع الفطرية للجنس *Sporisorium sp.* المسببة لتفحّم الذرة البيضاء والتي جمعت خلال عام 2019 من نباتات ذرة بيضاء *Sorghum* مصابة في منطقتين لزراعتها من دمشق وريفها، استخدمت 12 مرئسة لتقنية مضاعفة المناطق بين التكرارات التتابعية البسيطة Repeat Inter Simple Sequence (ISSR) على 7 عزلات فطرية وقد أظهرت النتائج أن جميعها تمكنت من الالتصاق في موقع واحد أو مواقع متعددة منجين العزلات الفطرية المدروسة. بلغ العدد الكلي للحزن المشكّلة 99 بنسبة تعددية شكلية بلغت 95.25% وتراوحت قيمة معامل التعديل الشكلية (PIC) Polymorphic Information Content مع المرئستان ISSR1-ISSR3 بين 0.25 و 0.42 مع المرئستان ISSR8 و 0.42 مع المرئستان A19 مما يشير إلى وجود تباين وراثي بينهما، بينما كانت القيمة الأعلى 0.73 ما بين عزلتي التفحّم الطويل LS-LM مما يدل على درجة القرابة الوراثية الكبيرة بينهما، كما أظهرت شجرة القرابة الوراثية أن العزلات انقسمت إلى مجموعتين رئيسيتين على درجة تشابه وراثي 0.286 حيث ضمت المجموعة الأولى عزلات النوعين *S. reilianum* و *S. ehrenbergii* بينما ضمت المجموعة الثانية عزلات النوعين *S. sorghii* و *S. cruentum*. تجمعت العزلات من نفس النوع معاً بالرغم من كونها أخذت من أنواع مختلفة من الذرة البيضاء.

تعد هذه أول دراسة في سوريا تهدف لمعرفة التباين الوراثي لأنواع تفحّمات الذرة البيضاء وتشير النتائج إلى إمكانية استخدام تقنية ISSR لدراسة القرابة الوراثية فيما بينها.

الكلمات المفتاحية: تباين وراثي، *Sporisorium*, ذرة بيضاء، تفحّم، ISSR.

تاريخ الابداع: 9/8/2023

تاريخ القبول: 23/10/2023



حقوق النشر: جامعة دمشق - سوريا،

يرجع حقوق المؤلفون بحقوق النشر بموجب

الترخيص CC BY-NC-SA 04

Genetic variability Among Sorghum smut diseases Caused by *Sporisorium* spp.

Rudaina Ghanem^{1*}, Joudeh Faddoul², Mouhamad Fawaz Al-Azmah³

¹Teaching Assistant, faculty of Agriculture, Tishreen University.

² Professor in the Department of Plant Protection, Faculty of Agriculture, Damascus University.

³Professor in the Department of Plant Protection, Faculty of Agriculture, Damascus University.

Abstract:

This study aimed to investigate the genetic variability of Sorghum smut fungal species of *Sporisorium*, isolates collected from infected Sorghum plants during 2019 from two regions of Sorghum cultivation in Damascus and its countryside, 12 primers for ISSR marker were used on 7 fungal isolates, Results showed that all of them had the ability to amplify one or multi sites of the fungal genome. The total number of amplified fragments was 99, with a polymorphism rate of 95.25%. and the average polymorphic information content coefficient ranged between 0.25 with the primer ISSR8 and 0.42 with primers ISSR1 and ISSR3. and the genetic similarity ranged between 0.495 and 0.73. the lowest value was 0.495 between the two isolates of loose smut SS and head smut A19 which indicates that there is a large genetic variation between them While the highest value of genetic similarity was 0.73 between the two isolates of Long smut LS and LM, That indicates a large degree of genetic relationship, The phylogenetic tree showed that the isolates can be divided into two main groups at a genetic similarity level of 0.286. The first group included *Sporisorium reilianum* and *S. ehrenbergii* isolates and the second group included *S. sorghi* and *S. cruentum* isolates. The isolates from the same species grouped together although that they were from different Sorghum species This is the first study on genetic variability of Sorghum smut species in Syria and Our results indicate the possibility of using the ISSR technique to study genetic relationship among them.

Key words: Genetic Variability, *Sporisorium*, Sorghum, Smut, ISSR

Received: 9/8/2023
Accepted: 23/10/2023



Copyright: Damascus University- Syria, The authors retain the copyright under a CC BY- NC-SA

المقدمة والدراسة المرجعية:

تعد الذرة البيضاء أو الذرة الرفيعة *Sorghum bicolor* (L.) moench من محاصيل الحبوب الهامة في المناطق المدارية وشبه الجافة في إفريقيا وآسيا وأستراليا وأمريكا، فهي تنتج بشكل أساسى للاستهلاك البشري في إفريقيا وبعض الدول في آسيا مثل الهند، ومن أجل تغذية الحيوانات وتطبيقاتها الصناعية في الولايات المتحدة والصين وأستراليا (Reddy, 2017)، وبالرغم من أن المساحة المزروعة بالذرة البيضاء كبيرة في الكثير من البلدان إضافةً لتحسين الإجراءات لزيادة الإنتاج إلا أن إنتاجيتها منخفضة بسبب ما تتعرض له من مؤثرات حيوية وغير حيوية (Ashok, 2019)، وتعد أمراض التفحمات من بين أهم المؤثرات الحيوية التي تحد من إنتاجية الذرة البيضاء، لأنها تصيب الكثير من الأصناف التقليدية والمحسنة، حيث يتركز الضرر على عثاكل الذرة مما يؤدي إلى خسائر في ناتج المحصول (الحبوب) وكذلك تتخفض قيمتها التسويقية (Louis *et al.*, 2007).

تصاب الذرة البيضاء بأربعة أنماط من التفحمات، وهي منتشرة في معظم مناطق زراعة الذرة البيضاء في العالم (Das, 2017) تسببها أربعة أنواع فطرية من الجنس *Sporisorium* والفصيلة *Ustilaginaceae* من الرتبة *Ustilaginales* والصف Cai *et al.*, 2011; Toh and Basidiomycota (فضول ونفاع 2006؛) (Perlin, 2016) وهي مسجلة في القطر العربي السوري بحسب التقرير الوطني عن التنوع البيولوجي للموارد الوراثية للأغذية والزراعة بدولة الجمهورية العربية السورية لعام 2016.

ينتج التفحم الحبي المغطى عن النوع (Sporisorium sorghi Ehrenb. ex Link, syn. Covered Kernel Smut) (Sphacelotheca sorghi (Ehrenb. ex Link)

إذ تحدث العدوى بصورة جهازية في مرحلة البدارة عن طريق الحبوب الملوثة بالأبواغ التيلية والتي تبتت عند توفر الظروف المناسبة بالتزامن مع إنبات حبوب الذرة البيضاء فتعطى دعامة أولية من 4 خلايا تتشكل عليها السبوريدات والتي تبتت بدورها وتشكل المشيجة الثانية التي تخترق البدارة النامية تحت سطح التربة، ثم تتمو مشيجة الفطر جهازياً داخل البدارة ملازمةً للفمه النامية حتى موعد خروج النورات الزهرية، عندها يهاجم الفطر الحبوب أثناء تشكّلها، حيث تتحول كل حبة مصابة في العثکول إلى كيس بوغي له جدار سميك بلون أبيض رمادي أوبني يحوي الأبواغ التيلية ذات اللون البني الغامق (Thakur *et al.*, 2010; Kutama *et al.*, 2011; Das, 2017; Anitha *et al.*, 2020) وكذلك هناك التفحم السائب *Sporisorium* الذي يسببه الفطر *Loose kernel Smut* (Das, 2017; Anitha *et al.*, 2020) synonym: *Sphacelotheca cruenta* (J.G. Kühn) (J.G. Kühn) الذي يعتبر أيضاً أحد أمراض التفحم الهامة على الذرة البيضاء وتحت العدوى عن طريق البذور الملوثة بالأبواغ التيلية بنفس آلية حدوث التفحم المغطى، إلا أنه أقل انتشاراً وتؤدي الإصابة إلى تحول كل الحبات المصابة في العثکول إلى أكياس بوغية ذات غشاء رقيق رمادي تحوي أبواغ تيلية بلونبني داكن يتميز مباشرة ويسهولة بعد خروج العثکول من البرعم (Clinton reilians (J.G. Kühn) reilians (J.G. Kühn) (Head Smut) الذي يسببه الفطر *Sphacelotheca* synonym: *Sporisorium reilians* (J.G. Kühn) (reilians (J.G. Kühn) Clinton بشراسة لكن لا يؤدي لنفحم الرأس (العثاكل) فيما لو أصاب الذرة البيضاء *Sphacelotheca reilians* f.sp. *Zeae* والآخر يصيب الذرة البيضاء بشدة وبالمقابل لا ينتج أبواغ على نباتات الذرة الصفراء *Sphacelotheca reilians* f. sp. *reilians* وتكون العدوى

جهازية وينفس آلية حدوث التفحم المغطى وهنا يتحول العثکول بالكامل إلى كيس بوغي متطاول أبيض ذو غشاء رقيق يتمزق بسهولة يحوي أبواغ الفطر التيلية وشبكة من الخيوط الرفيعة الداكنة من بقايا الأوعية الناقلة والتي تشبه المكنسة (Zuther et al., 2012; Das, 2017; Anitha et al., 2020).

وأخيراً التفحم الطويل Long smut الناتج عن الفطر *Sporisorium ehrenbergii* (J.G. Kühn) (synonym: *Tolyposporium ehrenbergii* (J.G. Kühn)) وخلافاً للتقحمات السابقة فهو منقول بالهواء إذ تحدث العدوى في مرحلة الاشطاء (booting stage) وحتى ظهور البراعم الزهرية (anthesis) وليس بعد ذلك حيث يدخل البوغ التيلي المنقول بالهواء إلى الإشطاء وينبت ليعطي سوريدات والتي بدورها تصيب السنبلات منفردة وتظهر الأعراض على قمة النبات بعد 11 – 14 يوم من العدوى بشكل أكياس بوغية اسطوانية متطاولة ومنحنية (Prom et al., 2014; Das, 2017; Anitha et al., 2020).

إن التعرف على التنوع الوراثي للذرة باستخدام تقنيات البصمة الوراثية (DAN molecular finger printing techniques) ذو أهمية كبيرة من أجل زيادة الفهم لبنية مجتمعات العامل الممرض pathogen population والتفاعلات المتبادلة ما بين العائل والممرض والبيئة، وهي الأساس لتطوير أصناف مقاومة حيث بعد استخدام الأصناف المقاومة إضافية لمعاملة البذار قبل الزراعة من أكثر الطرائق فاعلية واقتصادية لمكافحة أمراض التفحم على الذرة البيضاء المنقوله بالبذار وبشكل خاص التفحم الرئيسي (Oh et al., 1994) وكذلك الأمر بالنسبة لأمراض التفحم الأخرى مثل تفحم قصب السكر (Shen et al., 2014).

هناك مشكلة مستمرة في مكافحة أمراض التفحمات عن طريق معاملة البذور بالمبيدات الكيميائية بسبب وجود سلالات فيزيولوجية للفطر الممرض بالنسبة لأمراض التفحم المنقوله بالبذار مع وجود إمكانية التهجين فيما بينها وبالتالي هناك سؤال دائم عن إمكانية ظهور أي سلالات جديدة من خلال التهجين أو الطفرات قد تكون قادرة على إصابة الأصناف أو الهجن المقاومة أو أن تكون مقاومة للمبيدات المستخدمة (Vaheeduddin, 1942) هذا عدا عن مشكلة التلوث البيئي الناتجة عن استخدام المواد الكيميائية (Moharam et al., 2018) لذلك فإن تحليل البنية الوراثية لمجتمعات الفطر الممرض في النظم الزراعية المختلفة له فائدة جمة في فهم أي وقت أو مكان تقويد القوى التطورية النشوئية إلى نشوء (توليد) تباين وراثي جديد بين أو ضمن المجتمعات وتوزعها يسمح لنا بتحديد درجات التشابه بينها، والكشف عن الآليات النادرة المشتركة بين المجتمعات المنفصلة جغرافياً، وتحديد التدفق الجيني، وفي ما يتعلق بأشكال التكاثر فهي تساعد في تحديد إذا ما كان مجتمع الفطر الممرض ذو دورات نظامية للتکاثر الجنسي يعطي خلالها عدد أكبر من الأنماط الجينية وبالتالي فإن مستويات التنوع الوراثي ستكون عالية مقارنةً مع المجتمعات التي لا تتكاثر جنسياً وبالتالي سيزداد خطر ظهور آليات متعلقة بالإمراضية (أو الشراسة) بحيث تصبح الأصناف المقاومة غير فعالة لمنع حدوث الإصابة (McDonald and Lind, 2002) وجميع هذه المعلومات تفيد في تطوير استراتيجيات لمكافحة الحيوية والتي تعد أفضل من التقليدية المعتمدة على تطبيق المبيدات والممارسات الزراعية المختلفة.

تسمح طرائق البصمة الوراثية بالقصصي عن مناطق عشوائية من الجينوم الفطري وذلك من أجل تعريف تسلسل متخصص بالنوع الفطري عندما تكون المورثات المحفوظة غير متنبانية كافية من أجل تعريف وتصنيف الأنواع بشكل ناجح (McCartney et al., 2003)، وتستخدم بشكل عام لدراسة آلية نشوء وتطور المجتمعات المدروسة وتركيبها الوراثي وقد كانت هذه التقنيات نافعة من

أجل تحديد تسلسل مستخدم للكشف عن الفطور على مستوى تصنيفي منخفض ، واستخدمت أيضاً في تحديد الاختلافات بين السلالات من نفس النوع مع اختلاف المدى العائلي والشراسة ونمط الالقاء أو التزاوج (Capote et al., 2012).

يعد استخدام الواسمات الجزيئية للكشف عن التباينات الوراثية إحدى أهم التطورات في مجال أمراض النبات، حيث يوجد العديد من التقنيات المستخدمة والتي تختلف فيما بينها من حيث المبدأ و الطريقة و الهدف من تطبيقها، وتعتبر تقنية مضاعفة المناطق ما بين التكرارات التتابعية البسيطة (ISSR) إحدى أهم الواسمات الجزيئية لدراسة المجتمعات وراثياً وتحديد درجة القرابة فيما بينها (Zietkiewicz et al., 1994) ولهذه التقنية العديد من المزايا مقارنةً مع الواسمات الجزيئية الأخرى (مثل AFLP-RAPD-RFLP) فهي ذات كفاءة وحساسية وموثوقية عالية وسهلة التطبيق لأن مستلزمات وتكليف تطبيقها منخفضة وتحتاج لكمية DNA قليلة حتى لو كان بجودة منخفضة (Oliveira and Azevedo, 2022) لذلك أصبحت تستخدم على نطاق واسع لتحليل النوع الوراثي للمجتمعات المدروسة وتحديد هوية السلالات وبناء الخريطة الوراثية ودراسات أخرى في مختلف الكائنات الحية بما في ذلك النباتات (Idrees and Irshad, 2014) والحيوانات والكائنات الحية الدقيقة ومنذ عام 2012 أصبحت تستخدم بشكل أساسي لدراسة مسببات الأمراض النباتية بنسبة 42.2% والتلوّن الوراثي الفطري 25% وللتعرف على منتجات الأطعمة والمشروبات (Oliveira and Azevedo, 2022) وقد أثبتت فاعليتها لدراسة التباينات الوراثية بين عزلات لفطور التفحم متباينة في شراستها أو في بيئاتها الجغرافية (Karwasara et al., 2002; Zhang et al., 2010; Shen et al., 2012; Parveen et al., 2013; Xu et al., 2014; Xu et al., 2017; Li et al., 2021

للحصول على تسلسل مميز يستخدم في عملية تشخيص المرض بطريقة جزيئية (Gao et al., 2014; Yao et al., 2019).

وفي نفس السياق واستكمالاً لأبحاث سابقة في الهيئة العامة للرقانة الحيوية فيما يتعلق بم الحصول الذرة البيضاء والأمراض التي تصيب بها وأن الدراسات حول بنية المجتمعات فطريات التفحم على الذرة البيضاء وتبانها الوراثي قليلة جداً، تم في هذا البحث تطبيق تقنية ISSR على عزلات من عدة أنواع لفطريات التفحم معزولة من عدة أنواع نباتية تتبع الجنس *Sorghum* لتحديد درجة القرابة الوراثية ما بينها.

المواد والطرائق:

1- عينات الفطر الممرض:

استخدمت 7 عزلات من الأبواغ التيلية لأنواع الجنس *Sporisorium* المسببة للتفحم من أنواع نباتية مختلفة من الذرة البيضاء (الجنس *Sorghum*) كما هو موضح في الجدول (1) حيث جمعت الأبواغ التيلية لفطريات التفحم السائب والرأسي من نباتات الرزين المصابة بصورة طبيعية من مزرعة أبي جرش، وبالنسبة للتفحم المعنطي وجدت عينة من ذرة المكانس مصابة بالتفحم المعنطي في منطقة جিرود كما أخذت عينة من الذرة البيضاء الحبية صنف رزينية من مزرعة أبي جرش، أما التفحم الطويل فقد ظهرت الإصابة بصورة تلقائية على عثاكيل الذرة البيضاء الحبية والسكرية التي كانت تزرع سنوياً في مزرعة أبي جرش بهدف انتخاب أفضل الأصناف واعتمادها للزراعة ويشار إلى أن هذه العزلات سبق وأن تم تعريفها وتوصيفها شكلاً بحسب المفتاح التصنيفي الذي استخدمه Vánky و Abbasi (2013) في دراسة سابقة (غانم وأخرون، قيد النشر).

الجدول (1): العزلات الفطرية من الجنس *Sporisorium* المستخدمة في هذه الدراسة.

العائل	الاسم العلمي	رمز العزلة
Sorghum bicolor ذرة بيضاء حبية صنف: رزينة	<i>Sporisorium sorghi</i>	MS
Sorghum vulgare var. technicum ذرة المكانتس	<i>Sporisorium sorghi</i>	BM
Sorghum halepense الرزين	<i>Sporisorium cruentum</i>	SS
Sorghum halepense الرزين	<i>Sporisorium reilianum</i>	A19
Sorghum halepense الرزين	<i>Sporisorium reilianum</i>	A20
Sorghum bicolor ذرة بيضاء سكرية	<i>Sporisorium ehrenbergii</i>	LS
Sorghum bicolor ذرة بيضاء حبية صنف: رزينة	<i>Sporisorium ehrenbergii</i>	LM

2- مكان وتاريخ تنفيذ البحث:

نفذ البحث في مخابر الهيئة العامة للقانة الحيوية في دمشق خلال الفترة 2019/2021.

3- استخلاص الحمض النووي للفطر الممرض:

عزل الدنا من الأبواغ التيلية من كل عينة باستخدام طاقم عزل معتمد (Genomic DNA Isolation Reagent) من شركة (GeneDireX, Taiwan)، ونفذت الخطوات حسب تعليمات الشركة الصانعة ثم تم قياس كمية الدنا على طول الموجة 260 نانومتر واعتمدت نسبة الامتصاص 260/280 لتعيين جودة الدنا (أقل من 1.8) كما تم تقدير نوعية الأحماض النووية RedSafe™ بواسطة جهاز الرحلان الكهربائي باستخدام هلام الأغاروز Agarose 1% مع صبغة خاصة بالأحماض النووية (Biotechnology Nucleic Acid Staining Solution, Intron البنفسجية وتكون عينات DNA ذات نوعية جيدة عندما تظهر كجزء واحد (Sambrook *et al.*, 1989).

4- تقنية مضاعفة المناطق ما بين التكرارات التتابعية البسيطة ISSR : (Inter-Simple Sequence Repeat)

استخدمت 12 مرئسة من نوع ISSR (الجدول 2) وتم إجراء تفاعل البلمرة المتسلسل للبوليمراز PCR (Polymerase Chain) Reaction (كل منها حسب Xu وآخرون 2017، حيث كان الحجم النهائي للتفاعل 25 μl والذي يتضمن المكونات التالية: 2 μl دنا الفطر (30ng)، 3 μl المريضة (5μM)، 12.5 μl طاقم كيميائي Dream Taq green PCR 2x master mix, Thermo)، و 17.5 μl ماء نقي (Nuclease-Free Water)، ونفذ تفاعل PCR في جهاز التدوير الحراري باتباع برنامج عمل بالشروط التالية:

- 5 دقائق على حرارة 95°س لفصل سلاسل الدنا .(Denaturation)

- 2- يليها 35 دورة متتالية من :

- (Denaturation) فصل السلاسل الدنا على حرارة 95°س لمدة 45 ثانية.

- مرحلة ارتباط البادئ على حرارة تتناسب مع المرئسة المستخدمة لمدة 545 ثانية (annealing) -

- مرحلة تكميلة السلاسل على حرارة 72°س لدقيقتين .(extension) -

- 3 (final extension) الاستكمال النهائي للسلاسل على حرارة 72°س لمدة 8 دقائق .

وفي النهاية تم ترحيل منتجات PCR على هلام الأغاروز 1.8% أضيف لها 0.05 (حجم/حجم) من RedSafe™ Nucleic Acid Staining Solution, Intron Biotechnology (في جهاز الرحلان الكهربائي تحت جهد كهربائي 100 فولط لمدة ساعة ونصف، كما تم تحمليل سلم جزيئي أو مؤشر (Marker) ذو وزن جزيئي 3000bp-100bp) ذو وزن جزيئي (Marker) ذو وزن جزيئي 3000bp-100bp (Thermo Scientific GeneRuler) إضافة لعينات دنا الفطر، ومن ثم عرضت للأشعة فوق البنفسجية وصورة باستخدام جهاز توسيق الجيل Plus Ladder (100bp Gel doc.

5- التحليل الإحصائي :

جمعت نتائج عملية التضخيم في جداول اعتماداً على مقارنة وجود أو غياب حزم الحمض النووي DNA وأعطي الرقم (1) عند وجود حزمة DNA ذات وزن جزيئي محدد عند أي عزلة بينما يعطى الرقم (0) عند عدم وجودها، وقد نظمت الجداول لكل مرئسة على حدا في برنامج Microsoft Excel ثم حللت النتائج باستخدام برنامج PopGene (Yeh et al., 1997) وتم التحليل العنقودي بالاعتماد على مصفوفة التشابه (Similarity Matrix) (معامل Nie's coefficient) ورسمت شجرة القرابة الوراثية بتطبيق طريقة متوسطات المجموعات الزوجية غير المزانة Un Weighted Pair Group Method with Arithmetic Averaging (UPGMA) ليبيان توزع الأنواع إلى مجاميع أو عناقيد رئيسية وثانوية اعتماداً على البعد الوراثي فيما بينها، كما تم تقدير مؤشرات التنوع الوراثي التالية بين المجتمعات المدروسة جدول (2):

1- عدد الحزم الكلية المنتجة لكل مرئسة

2- عدد الحزم المتماثلة في كل العينات Monomorphic bands

3- عدد الحزم ذات التعدد الشكلي Polymorphic bands

4- عدد الحزم المتفردة Unique bands

5- النسبة المئوية للتباین أو النسبة المئوية للتعدد الشکلی وحسبت من المعادلة التالية:

$$\text{النسبة المئوية للتعدد الشکلی} = \frac{\text{عدد الحزم المتعددة شكلياً لكل مرئية}}{\text{عدد الحزم الكلية المنتجة من المرئية}} \times 100$$

6- محتوى التعديدية الشكلية (PIC) Polymorphism Information Content لكل مرئية بتطبيق المعادلة التالية:

$$(Roldan-Ruiz, et al., 2000) \quad PIC = 2f(1-f)$$

حيث أن: f = تكرار الحزم الموجودة.

الجدول (2): المرئيات المستخدمة وتسلسلها وعدد القطع (الحزم) المضخمة الناتجة عنها.

رمز المرئية	التابع النوكليوتيدي	عدد الحزم	عدد الحزم المتباينة شكلياً	عدد الحزم المترفردة	عدد الحزم المتماثلة	النسبة المئوية للتعديدية الشكلية	محتوى التعديدية الشكلية
ISSR1	(AG)8G	12	12	3	0	100	0.42
ISSR2	(AG)8T	5	5	2	0	100	0.39
ISSR3	(AG)8YA	5	5	1	0	100	0.42
ISSR4	(GA)8A	5	4	1	0	80	0.32
ISSR5	(GA)8YT	6	6	4	0	100	0.32
ISSR6	(GA)8YC	10	10	6	0	100	0.33
ISSR7	VHV(GT)	15	15	7	0	100	0.40
ISSR8	(GGAGA)3	4	4	4	0	100	0.25
ISSR9	(AC)8G	20	20	7	0	100	0.37
ISSR10	(TG)8RC	6	6	3	0	83.3	0.29
ISSR18	(AC)8YG	5	4	3	0	80	0.29
ISSR19	(GT)9T	6	6	3	0	100	0.36
Total		99	96				
Mean							95.25

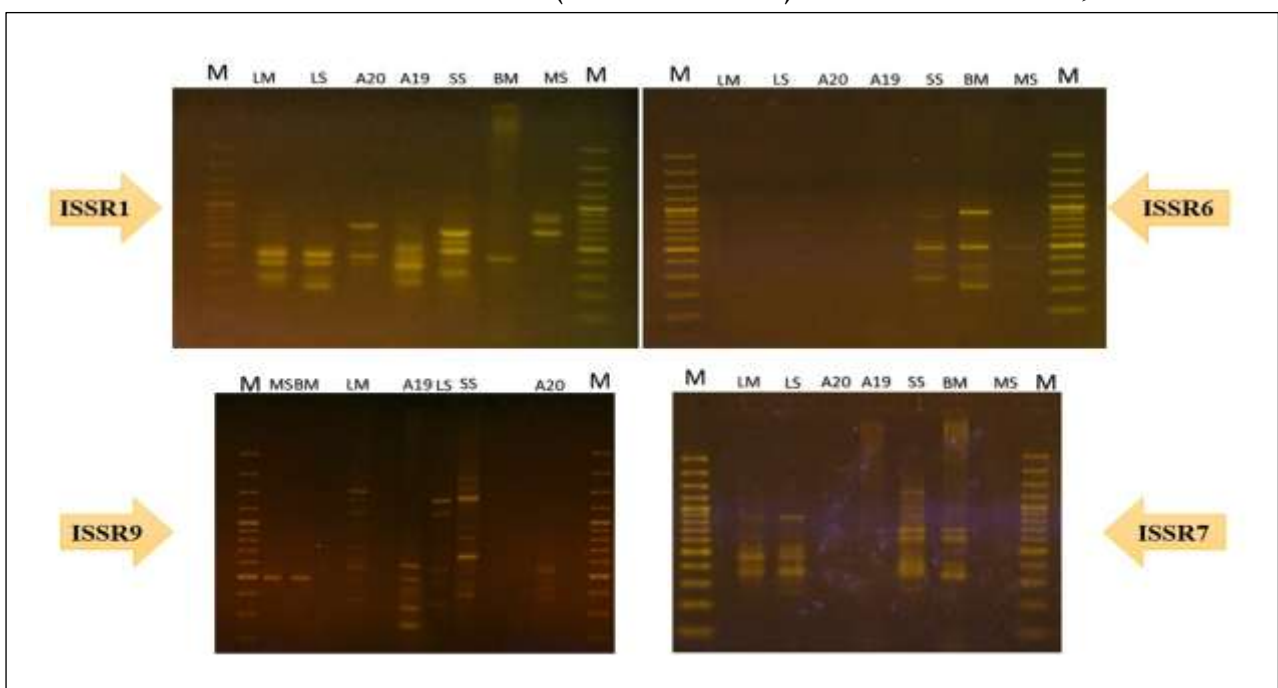
النتائج والمناقشة:

1- التعديدية الشكلية:

طبقت تقنية (ISSR) في هذه الدراسة للتعرف على التباينات الوراثية بين عزلات لأنواع من الفطريات التي تتبع الجنس *Sporisorium* المسببة لأمراض التفحم على الذرة البيضاء، والتي أخذت من أنواع مختلفة من نباتات مصابة من الجنس *Sorghum* حيث تم اختبار 12 مرئية وأثبتت جميعها فعالية في إظهار التباينات الوراثية بين العزلات الفطرية المدروسة، فقد

أعطت كلاً منها حزم واضحة ذات تعددية شكلية، حيث نجم عن هذه المرئات 99 حزمة وتراوح عدد الحزم من 4 حزم كأقل عدد مع المرئسة (ISSR8) وعشرون حزمة كأعلى عدد مع المرئسة (9 ISSR)، بمتوسط قدره 8.25 حزمة لكل مرئسة والشكل (1) يبين نماذج التحام المرئات ISSR1-ISSR6-ISSR7-ISSR9 مع الدنا الفطري لعينات التفحم المدروسة.

إن المرئات التي تعطي أعلى عدد من الحزم ذات دلالة أكبر على التنوع الوراثي مقارنة مع المرئات التي أعطت أقل عدد من الحزم وكانت النسبة المئوية للتعددية الشكلية الأقل 80% مع المرئات (ISSR4, ISSR18)، تلتها النسبة المئوية للتعددية الشكلية مع المرئسة (10) ISSR بمقدار 83.3% وكانت النسبة الأكبر مع بقية المرئات حيث كانت 100% وبلغ متوسط النسبة المئوية للتعددية الشكلية 95.25% حيث تدل النسبة العالية للتعددية الشكلية على فعالية تقنية ISSR في كشف التباينات الشكلية بين الأنواع المدروسة، وتراوحت قيمة PIC ما بين 0.25 و 0.42 حيث أن قيمتها تعبر عن قدرة الواسم (Marker) على كشف التعددية الشكلية وبالتالي له أهمية في انتقاء الواسمات الجزيئية المناسبة للدراسات الجزيئية ولأن تقنية ISSR تعتبر من الواسمات الجزيئية ذات السيادة (Dominant Molecular Marker) فإن قيمته تتراوح بين 0 و 0.50 وتعتبر قيمة عالية إذا كانت بين 0.30 و 0.40 وعلية جداً إذا كانت بين 0.40 و 0.50 (Lemos et al., 2019).



الشكل (1): نتائج التحام المرئات ISSR1-ISSR6-ISSR9-ISSR7 مع المادة الوراثية لعزلات الفطر *Sporisorium* sp. من أنواع نباتية من الجنس Sorghum تم فصلها كهربائياً على هلامه أغاروز 1.8%. M = سلم معياري جزيئي (DNA) (100-3000 bp).

وقد حصل Li وآخرون عام (2021) على نسبة عالية من التعديبة الشكلية وقدرها 97.83 % وذلك عند تطبيق 9 مركبات من نوع ISSR على 39 عزلة من الفطر المسبب للتفحم الرأسي على نباتات الذرة الصفراء *Sporisorium reilianum f. sp. zae* Zhang وآخرون عام (2010) على نسبة أقل من التعديبة الشكلية وكانت 84.7% باستخدام تقنية ISSR لكشف البيانات الوراثية بين عزلات نفس النوع الفطري من عدة مناطق لزراعة الذرة الصفراء في الصين، وفي عام 2014 حصل Xu وآخرون على نتائج مقاربة عند دراسة التوع الوراثي لعزلات من الفطر المسبب لتفحم قصب السكر *Sporisorium scitamineum* باستخدام تقنية ISSR حيث كانت النسبة المئوية للتعديبة الشكلية 86.8%， وعند تكرار الدراسة عام (2017) على عزلات وحيدة البوغ من السبوريدات للفطر نفسه وباستخدام نفس التقنية ISSR كانت النسبة التي حصل عليها Xu وآخرون أقل وقدرها 71% وقد عزى ذلك إلى استخدامه لعزلات من سبوريدات الفطر المنفردة التي تتميز بكونها نصفية الصيغة الصبغية haploid أما في الدراسة التي سبقتها أخذت عزلات الفطر من الأبواغ التيلية ثنائية الصيغة الصبغية (diploid spores).

كذلك أثبتت تقنية ISSR فاعليتها مقارنةً مع تقنية RAPD حتى عند استخدامها لكشف البيانات الوراثية لأنواع فطرية أخرى تسبب التفحم حيث كانت النسبة المئوية للتعديبة الشكلية التي أعطتها مركبات ISSR عالية وأكبر مقارنةً مع مركبات RAPD وقدرها 98.4% وذلك في الدراسة التي أجراها Parveen وآخرون عام (2013) والتي هدفت لدراسة البيانات الوراثية لعزلات الفطر *T.indica* المسبب لتفحم المغطى التن على القمح، كذلك عند استخدامها لدراسة البيانات الوراثية لأنواع فطرية أخرى مثل Fusarium فقد أعطت تعديبة شكلية قدرها 88.7% وكانت أعلى مقارنةً مع RAPD (Baysal et al., 2013).

الجدول (3): مصفوفة التشابه لمعامل Nie's coefficient بتطبيق طريقة متوسطات المجموعات الزوجية غير المزانة (UPGMA)

LM	LS	A20	A19	SS	BM	MS	
0.5152	0.4646	0.3737	0.5859	0.5657	0.6364	****	MS
0.5354	0.5051	0.6162	0.5859	0.5859	****		BM
0.3434	0.4343	0.5051	0.4949	****			SS
0.5657	0.5758	0.6667	****				A19
0.6162	0.6263	****					A20
0.7273	****						LS
****							LM

2- تحديد درجة القرابة الوراثية بين أنواع تفحمات الذرة البيضاء المدروسة:

تم دراسة العلاقة الوراثية بين أنواع تفحمات الذرة البيضاء في هذه الدراسة بتطبيق مصفوفة التشابه Similarity Matrix لمعامل (LS, LM) Nies Coefficient (Nei,1973)، ويبيّن الجدول (3) أن أعلى قيمة للتشابه بلغت (0.73) بين عينتي التفحم الطويل (A19, A20) بنسبة تشابه (0.67) ومن ثم وهذا يدل على أنهما على درجة كبيرة من القرابة الوراثية تلاهما عينتي التفحم الرأسي (A19, A20) بنسبة تشابه (0.67) ومن ثم

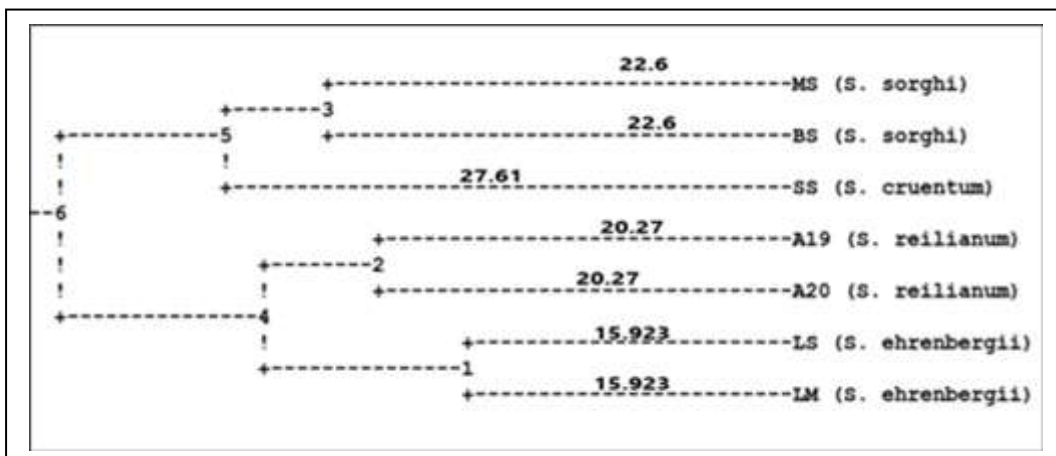
التباین الوراثی بین عزلات من انواع الفطر *Sporisorium* sp. المسیبیة لأمراض التفحم غانم، فضول و العظمة

العينتين (MS, BM) للتفحم المغطى بنسبة (0.64) وكانت أقل نسبة تشابه بين العينتين (SS, A19) بمقدار (0.495) مما يدل على وجود تباين وراثي بينهما.

لقد أشار Stoll وآخرون عام (2003) أن النوعين *S.sorghii* و *S.cruentum* على وجه الخصوص متشابهين فيما يتعلق بالخصائص الشكلية والتفضيل العائلي وعلى درجة قرابة وراثية كبيرة حسب التحليل المعتمد على تسلسل منطقة الفواصل الداخلية (LSU-rDNA) (Internal Transcribed Space)، وكذلك عند تحليل القرابة الوراثية بحسب تسلسل منطقة (ITS)

.(Piepenbring et al., 2002) Nuclear Large Subunit ribosomal DNA

بينما كان الاختلاف الوراثي بين النوع *S. reilianum* وكل من النوعين *S. sorghii* و *S.cruentum* واضحاً حسب التحليل المعتمد على تسلسل ITS .(Stoll et al., 2003)



الشكل (2): مخطط شجرة القرابة الوراثية للتحليل العنقودي لأنواع الفطرية المدروسة باستخدام تقنية ISSR.

3- التحليل العنقودي:

انقسمت شجرة القرابة الوراثية الناتجة عن تقنية ISSR إلى مجموعتين رئيسيتين على درجة قرابة وراثية (0,286) حيث باعدت بين المجموعة الأولى المتضمنة عينات نوعي التفحم الطويل والرأسي، والمجموعة الثانية المتضمنة عينات التفحم المغطى والسائب، وبدورها انقسمت المجموعة الأولى إلى تحت مجموعتين الأولى فيها عينتي التفحم الطويل بمسافة وراثية بلغت (15,932) والثانية تضم عينتي التفحم الرأسي بمسافة وراثية بلغت (27,61) وكذلك انقسمت المجموعة الثانية إلى تحت مجموعتين الأولى تضم عينتي التفحم المغطى بمسافة وراثية بلغت (6,22) بينما انفردت عينة التفحم السائب لوحدها ضمن المجموعة الثانية بمسافة وراثية مقدارها (61).

إن التحليل العنقودي يسمح بتقسيم العينات المدروسة ضمن مجموعات تعكس درجة القرابة الوراثية فيما بينها، فقد تجتمع العينات ضمن مجموعة واحدة بناءً على موطنها الأصلي أو بناءً على أصلها ونسبها، وقد أظهرت شجرة القرابة الوراثية في هذه الدراسة أن عينات النوع نفسه تجمعت معاً حتى لو أخذت من أنواع عوائل نباتية مختلفة كما وجد Xu وآخرون (2014, 2017) عند دراسة النوع الوراثي لعينات من الفطر *S. scitamineum* قصب السكر باستخدام تقنية ISSR أن الارتباط بين توزع

العينات ضمن مجموعات شجرة القرابة الوراثية ومناطقها الجغرافية أو البيئية كان معنوياً، بينما لم يكن هذا الارتباط واضحاً مع البيئة أو حتى النمط الممرض عند تطبيق تقنية ISSR على عزلات من الفطر *S. reilianum* من نباتات الذرة الصفراء المصابة بالتفحم الرأسي (Zhang et al., 2010; Li et al., 2021) وقد يعود هذا الاختلاف في النتائج كما عزاه الباحثون إلى أنه ربما قد تم إنتاج أنماط مرضية مختلفة من الفطر الممرض متميزة عن بقية الأنماط الموجودة في المنطقة المدروسة (Li et al., 2021).

الاستنتاجات:

أظهرت هذه الدراسة كفاءة تقنية ISSR في إظهار البيانات الوراثية ما بين عزلات أنواع فطريات التفحم المدروسة والتي عزلت من نباتات الذرة البيضاء المصابة حيث أعطت نسبة عالية من التعديدية الشكلية قدرها 95.25% وقد تجمعت عزلات النوع نفسه حتى لو أخذت من عوائل نباتية مختلفة حيث باعدت شجرة القرابة الوراثية بين مجموعتين أساسيتين الأولى ضمت عينات نوعي التفحم المغطى والسائب بينما ضمت الثانية عينات التفحم الطويل والرأسي ، تدخل المعلومات التي قدمتها هذه الدراسة ضمن سياق دراسة مسببات التفحم على الذرة البيضاء على المستوى الجزيئي كخطوة هامة للتعرف على سلالات الأنواع الموجودة في المنطقة وفيما لو وجدت أنماط مرضية ذات شراسة أكبر أو أي أصناف نباتية تملك صفات مقاومة للإصابة وبالتالي اتخاذ اجراءات وقائية مناسبة لمنع حدوث الإصابة، مع العمل لاحقاً على عزلات من مناطق مختلفة والتركيز على التفحم المغطى بسبب قلة الدراسات الجزئية عن هذا الفطر.

References:

1. التقرير الوطني عن التنوع البيولوجي للموارد الوراثية للأغذية والزراعة بدولة الجمهورية العربية السورية. (2016). الهيئة العامة للبحوث الزراعية، وزارة الزراعة، وزارة البيئة والإدارة المحلية، وزارة التعليم العالي، المركز العربي لدراسات المناطق الجافة والأراضي القاحلة، وهيئة الطاقة الذرية. سوريا. 209.
2. غانم، رينا أحمد؛ جودة، توفيق فضول؛ ومحمد، فواز العظمة. (قيد النشر). عزل وتصنيف الفطريات المسيبة لأمراض التحشم على الذرة البيضاء وتقييم قابلية بعض الطرز الوراثية المدخلة والمزروعة للإصابة. مجلة جامعة دمشق للعلوم الزراعية. (قيد النشر).
3. فضول، جودة توفيق، ونفاع، وليد غازي. (2006). المرجع في علم الفطريات (**Mycology**). منشورات جامعة دمشق، كلية الهندسة الزراعية. 1044.
4. Anitha, K., Das, I.K., Holajjer, P., Sivaraj, N., Reddy, C.R., and Balijepalli, S.B. (2020). Sorghum Diseases: Diagnosis and Management. In: Tonapi, V.A., Talwar, H.S., Are, A.K., Bhat, B.V., Reddy, C.R., Dalton, T.J. (eds) Sorghum in the 21st Century: Food – Fodder – Feed – Fuel for a Rapidly Changing World. Springer, Singapore. pp 565–619.
5. Ashok, K. A., (2019). Sorghum hybrids development for important traits: progress and way forward. In L. A. clampitti and P. V. Varaprasad, (Eds.) Sorghum: state of the art and future perspectives. (pp. 97-117). ASA, CSSA, SSSA.
6. Baysal, Ö., Karaaslanb, C., Siragusac, M., Alessandrod, R., Carimic, F., De Pasqualec, F., and da Silvae, J. A. T. (2013). Molecular markers reflect differentiation of *Fusarium oxysporum* forma speciales on tomato and forma on eggplant. Biochemical Systematics and Ecology, 47: 139-147.
7. Cai, L., Giraud, T., Zhang, N., Begerow, D., Cai, D., Shivas, R.G. (2011). The evolution of species concepts and species recognition criteria in plant pathogenic fungi. Fungal Diversity 50: 12.
8. Capote, N., Pastrana, A. M., Aguado, A., and Sánchez-Torres, P. (2012). Molecular Tools for Detection of Plant Pathogenic Fungi and Fungicide Resistance. Dr. Christian Joseph Cumagun (Ed.). Plant Pathology, ISBN: 978-953-51-0489-6, InTech, 362:151-202.
9. Das, L. K. (2017). Millet diseases: Current status and their management. In J. V. Patil. Millets and Sorghum: Biology and genetic improvement first edition. Published 2017 by John Wiley & Sons Ltd. Pp. 291-322.
10. Gao, L., Yu, H., Han, W., Gao, F., Liu, T. G., Liu, B., Kang, X., Gao, J., and Chen, W. (2014). Development of a SCAR marker for molecular detection and diagnosis of *Tilletia controversa* Kuhn, the causal fungus of wheat dwarf bunt. World journal of microbiology & biotechnology. 30:3185–3195.
11. Idrees, M., and Irshad, M. (2014). Molecular Markers in Plant for Genetic Diversity: A Review. European Academic Research. 2(1):1513-1540.
12. Karwasara, S. S., Mukherjee, A. K., Swain, S. C., Mohapatra, T., and Sharma, R. P. (2002). Evaluation of RAPD, ISSR and AFLP Markers for Characterization of the Loose Smut Fungus *Ustilago tritici*. J. Plant Biochemistry & Biotechnology. 11:99-103.

13. Kutama, A.S., Aliyu, B.S., and A.M., Emechebe. (2011). Screening of sorghum genotypes for resistance to loose smut in Nigeria. BAJOPAS. 4(2):199-203.
14. Lemos, S. C. M., Lia Rejane Silveira, R., Karol Buuron, S., Silvia Machado dos Santos, R., and Charlene Moro, S. (2019). Determining the Polymorphism Information Content of a Molecular Marker, Gene. doi: <https://doi.org/10.1016/j.gene.2019.144175>.
15. Li, X. F., Jiang, X. d., Feng, Z., Wang, W. Z., Yu, T. C., and Wang, J. M. (2021). Analysis of genetic diversity of *Sporisorium reilianum* f. sp. *Zeae* ISSR in Sganxi province. Journal of Agricultural Biotechnology. 29(5):973-984.
16. Louis, K.P., Ndiaga, C., and Ndoye, O. (2007). Assessing the vulnerability of selected sorghum line from the united states of America to long smut (*Soroposporium ehrenberghii* Vank). Crop Protection, 26:1771-1776.
17. Lumbsch, H. T., Buchanan, P. K., May, T. W., and Mueller, G. M. (2008). Phylogeography and biogeography of fungi. Mycol. Res. 112: 423–424.
18. McCartney, H. A., Foster, S. J., Fraaije, B. A., and Ward, E. (2003). Molecular diagnostics for fungal plant pathogens. Pest Management Science. 59(2):129-142.
19. McDonald, B. A., and Linde, C. (2002). Pathogen population genetics, evolutionary potential and durable resistance. Annu. Rev. Phytopathol. 40:349-379.
20. Moharam, M. H. A., Stephan, D., and Koch, E. (2018). Evaluation of plant-derived preparations and microorganisms as seed treatments for control of covered kernel smut of sorghum (*Sporisorium sorghi*). J. Plant Dis. Prot. 125: 159–166.
21. Nei, M. (1973). Analysis of gene diversity in subdivided populations. Proceedings of the National Academy of Sciences of the USA, 70: 3321–3323.
22. Oh, B. J., Frederiksen, R. A., and Magill, C. W. (1994). Identification of molecular markers linked to head smut resistance gene (shn) in sorghum by RFLP and RAPD analyses. Phytopathology. 84:830-833.
23. Oliveira, M., and Azevedo, L. (2022). Molecular Markers: An Overview of Data Published for Fungi Over the last Ten Years. J. Fungi. 8,803: pp. 12.
24. Parveen, S., Saharan, M. S., Verma, A., and Sharma, I. (2013). Comparative analysis of RAPD and ISSR marker assays for detecting genetic polymorphism in *Tilletia indica*. European Journal of Experimental Biology. 3(1):380-387.
25. Piepenbring, M., Stoll, M., and Oberwinkler, F. (2002). The genetic position of *Ustilago maydis*, *Ustilago scitaminea*, and *Ustilago esculenta* (Ustilaginales). Mycological progress.1:71-80.
26. Prom, L.K., R. Perumal, N. Cisse and Little, C. (2014). Evaluation of selected sorghum lines and hybrids for resistance to grain mold and long smut fungi in Senegal, West Africa. Plant Health Progr., 15: 74-77.

27. Reddy, P. S. (2017). Sorghum, *Sorghum bicolor* (L.) Moench. In J. V. Patil. Millets and Sorghum: Biology and Genetic Improvement, first edition. Published 2017 by John Wiley & Sons Ltd. pP:1-48.
28. Roldan-Ruiz, I., Dendauw, J., Van Bockstaele, E., Depicker, A., and De Loose, M. (2000). AFLP markers reveal high polymorphic rates in ryegrasses (*Lolium* spp.). *Molecular Breeding*. 6: 125-134.
29. Sambrook, J., Fritsch, E. F., and Maniatis, T. (1989). Molecular Cloning: a Laboratory Manual. Cold Spring Harbor Laboratory Press. New York.
30. Shen, W. K., Xi, P. G., Li, M. H., Liu, R., Sun, L. H., Jiang, Z.D., and Zhang, L.H. (2012). Genetic diversity of *Sporisorium scitamineum* in Southern China revealed by combined ISSR and RAPD analysis. *Afr. J. Biotechnol.* 11:11693-11703
31. Shen, W. K., Deng, H. H., Li, Q. W., Yang, Z. D., Jiang, Z. D. (2014). Evaluation of BC1 and BC2 from the crossing *Erianthus arundinaceus* with *Saccharum* for resistance to sugarcane smut caused by *Sporisorium scitamineum*. *Trop. Plant Pathol.* 39:368-373.
32. Stoll, M., Piepenbring, M., Begerow, D., Oberwinkler, F. (2003). Molecular phylogeny of *Ustilago* and *Sporisorium* species (Basidiomycota, Ustilaginales) based on Internal Transcribed Spacer (ITS) sequences. *Canadian Journal of Botany*. 81(9):976-984.
33. Thakur, R.P., Gunjotikar, G.A., and Rao, V.P. (2010). Safe Movement of ICRISAT's Seed Crops Germplasm. Information Bulletin no. 81. Patancheru 502 324, Andhra Pradesh, India: International Crops Research Institute for the Semi-Arid Tropics. 244 pp.
34. Toh, S.S., Perlin, M.H. (2016). Resurgence of Less-Studied Smut Fungi as Models of Phytopathogenesis in the Omics Age. *Phytopathology*. 106(11):1244-1254.
35. Vaheeduddin, S. (1942). The Pathogenicity and genetics of some sorghum smuts. University of Minnesota. Minnesota Agricultural Experiment station. Retrieved from the University of Minnesota Digital Conservancy.
36. Vánky, K. and M., Abbasi. (2013). Smut fungi of Iran. *Mycosphere* .4(3): 363–454.
37. Xu, L. P., Lu, Y.H., You, Q., Liu, X. L., Grisham, M. P., Pan, Y. B., and Que, Y. X. (2014). Biogeographical variation and population genetic structure of *Sporisorium scitamineum* in Mainland China: insights from ISSR and SP-SRAP markers. *Sci. World J. Article*. ID 296020, pP.13.
38. Xu, G. H., Deng, Q. G., Shen, W. K., Chen, S., and Wu, X. M. (2017). Assessment of genetic diversity and structure of *Sporisorium scitamineum* from China using inter-simple sequence repeat (ISSR) markers. *African Journal of Biotechnology*. 16(14):727-737.
39. Yao, Z., Qin, D., Chen, D., Liu, C., Chen, W., Liu, T., Liu, B., Gao, L. (2019). Development of ISSR-derived SCAR Marker and SYBR Green I Real-time PCR Method for Detection of Teliospores of *Tilletia laevis* Kühn. *Sci Rep.* 9(1):17651.
40. Yeh, F. C., Yang, R.C., Boyle, T., Ye, Z. H., and Mao, J. X. (1997). PopGene, the user-friendly shareware for population genetic analysis. Molecular Biology and Biotechnology Centre, University of Alberta, Canada.

41. Zhang, X., Gao, Z. G., Zhuang, J. H., Zhao, H., Zhao, B., and Sui, H. (2010). Genetic diversity of *Sporisorium reilianum* by UP-PCR, ISSR and AFLP analysis. *Acta Phytophylacica Sinica*. 37(3):241-248.
42. Zietkiewicz, E., Rafalski, A., and Labuda, D. (1994). Genome Fingerprinting by Simple Sequence Repeat (SSR)- anchored polymerase chain reaction amplification. *Genomics*. 20:176-183.
43. Zuther, K., Kahnt, J., Utermark, J., Imkampe, J., Uhse, S., and Schirawski, J. (2012). Host Specificity of *Sporisorium reilianum* Is Tightly Linked to Generation of the Phytoalexin Luteolinidin by *Sorghum bicolor*. *MPMI*. 25(9): 1230–1237.